

РАСЧЕТ НАЧАЛЬНОЙ СТАДИИ ТОЧЕЧНОГО ВЗРЫВА
В РАЗЛИЧНЫХ ГАЗАХ

В. П. Коробейников, П. И. Чушкин

(Москва)

Одномерная автомодельная задача о сильном точечном взрыве в газе была решена аналитически Л. И. Седовым [1] (см. также [2, 3]). При этом предполагалось, что можно пренебречь начальным давлением газа по сравнению с давлением непосредственно за фронтом ударной волны. Решение неавтомодельной задачи о взрыве с учетом противодавления можно найти численными методами с помощью электронных вычислительных машин. Для сферически-симметричного течения совершенного газа с показателем адиабаты $\gamma = 1.4$ такое решение было получено, например, в [4].

В начальной стадии, когда взрывная волна является еще достаточно сильной, решение задачи о взрыве с противодавлением можно определять методом линеаризации относительно известного автомодельного решения. Линеаризованные решения, построенные для различных совершенных газов с постоянным γ , помимо непосредственного применения для расчета начальной стадии взрыва, имеют еще и другие приложения. Они позволяют просто проводить обобщения на случаи, когда линеаризация осуществляется по другим параметрам (переменная плотность, магнитное поле, изменение уравнения состояния и т. д.), входя в соответствующие решения в виде слагаемых. Линеаризованная теория взрыва может применяться также для аналитического или численного расчета взаимодействия ударных волн с препятствиями и для расчета гиперзвукового обтекания тонких затупленных тел. Наконец, результаты линеаризованного решения можно использовать для задания начальных данных при расчете полной неавтомодельной задачи приближенными аналитическими или численными методами.

В линеаризированной постановке задача о взрыве с противодавлением в газе с постоянной плотностью и показателем адиабаты $\gamma = 1.4$ была рассмотрена в работах [2, 5, 6]¹. Линеаризированная одномерная задача о взрыве в газе с переменной плотностью изучена в [3, 7].

Ниже рассматривается численное решение линеаризированной задачи о взрыве с учетом противодавления для широкого диапазона значений γ в случаях плоских, цилиндрических и сферических волн. Результаты проведенных расчетов подготовлены в виде соответствующих таблиц, содержащих как автомодельные, так и линеаризованные функции. Кроме того, в работе дается приложение рассчитанных линеаризованных решений теории взрыва к вопросам гиперзвукового обтекания затупленных тонких тел газами с различными значениями γ .

1. Основные уравнения задачи. В задаче о взрыве с противодавлением определяющими параметрами являются начальные плотность и давление газа ρ_1 и p_1 , выделившаяся при взрыве энергия E_0 , показатель адиабаты γ , координата r и время t . Эти параметры показывают, что при заданной симметрии решение будет зависеть только от γ и от двух безразмерных переменных, за которые примем

$$x = \frac{r}{r_2}, \quad y = \frac{a_1^2}{c^2} \quad \left(c = \frac{dr_2}{dt}, \quad 0 \leq x \leq 1, \quad 0 \leq y \leq 1 \right) \quad (1.1)$$

где r_2 — радиус ударной волны, c — ее скорость, a_1 — скорость звука в невозмущенном газе.

В качестве искомых функций будем рассматривать безразмерные скорость f , плотность g и давление h

$$f = \frac{v}{c}, \quad g = \frac{\rho}{\rho_1}, \quad h = \frac{p}{p_1} \quad (1.2)$$

¹ В работе [2] приводится решение Н. С. Мельниковой.

Иногда [2, 3] вводят иные безразмерные функции, относя их к величинам на ударной волне v_2 , ρ_2 , p_2 . Такие функции связаны с функциями (1.2) через соотношения на ударной волне

$$\frac{v_2}{c} = \frac{2}{\gamma + 1} (1 - y), \quad \frac{\rho_2}{\rho_1} = \frac{\gamma + 1}{\gamma - 1 + 2y}, \quad \frac{p_2}{p_1} = \frac{2\gamma - (\gamma - 1)y}{(\gamma + 1)y} \quad (1.3)$$

Кроме того, искомыми функциями являются еще безразмерный радиус ударной волны R_2 и безразмерное время τ

$$R_2 = \frac{r_2}{r^\circ}, \quad \tau = \frac{t}{t^\circ}, \quad r^\circ = \left(\frac{E_0}{p_1} \right)^{1/\gamma}, \quad t^\circ = r^\circ \left(\frac{\rho_1}{p_1} \right)^{1/\gamma}$$

Здесь r° и t° соответственно динамические длина и время, причем $\nu = 1, 2, 3$ соответственно для плоского, цилиндрического и сферического случаев.

Система дифференциальных уравнений, описывающих одномерные неустановившиеся движения совершенного газа, в безразмерных переменных (1.1) и (1.2) имеет вид [2, 3]

$$\begin{aligned} (f - x) \frac{\partial f}{\partial x} + \eta \frac{\partial f}{\partial y} + \frac{1}{\gamma g} \frac{\partial h}{\partial x} - \frac{\eta f}{2y} &= 0 \quad \left(\eta = R_2 \frac{dy}{dR_2} \right) \\ g \frac{\partial f}{\partial x} + (f - x) \frac{\partial g}{\partial x} + \eta \frac{\partial g}{\partial y} + \frac{(\nu - 1) g f}{x} &= 0 \quad (1.4) \\ \gamma h \frac{\partial f}{\partial x} + (f - x) \frac{\partial h}{\partial x} + \eta \frac{\partial h}{\partial y} - h \left[\frac{\eta}{y} - \frac{(\nu - 1) \gamma f}{x} \right] &= 0 \end{aligned}$$

Эта система служит для определения функций $f(x, y)$, $g(x, y)$, $h(x, y)$. Для системы (1.4) имеют место следующие краевые условия:

на ударной волне (при $x = 1$) (1.5)

$$f(1, y) = \frac{2}{\gamma + 1} (1 - y), \quad g(1, y) = \frac{\gamma + 1}{\gamma - 1 + 2y}, \quad h(1, y) = \frac{2\gamma - (\gamma - 1)y}{\gamma + 1}$$

в центре симметрии (при $x = 0$)

$$f(0, y) = 0 \quad (1.6)$$

Начальные условия (при $y = 0$) выражаются так:

$$f(x, 0) = f_0(x), \quad g(x, 0) = g_0(x), \quad h(x, 0) = h_0(x)$$

где $f_0(x)$, $g_0(x)$, $h_0(x)$ — функции, отвечающие автомодельному решению.

Четвертое краевое условие (1.6) позволяет определить радиус ударной волны $R_2(y)$. Эту функцию можно найти также по интегральному закону сохранения энергии, являющемуся следствием системы уравнений (1.4) и краевых условий (1.5)–(1.6). После этого зависимость $\tau(y)$ вычисляется квадратурой по уравнению

$$\frac{d\tau}{dy} = \left(\frac{y}{\gamma} \right)^{1/2} \frac{dR_2}{dy}$$

Для начальной стадии взрыва с противодавлением (т. е. для малых y) решение можно представить в такой форме:

$$\begin{aligned} f(x, y) &= f_0(x) + y f_1(x) + \dots, & g(x, y) &= g_0(x) + y g_1(x) + \dots \quad (1.7) \\ h(x, y) &= h_0(x) + y h_1(x) + \dots, & \frac{R_2}{y} \frac{dy}{dR_2} &= \frac{\nu}{1 + A_1 y + \dots} \end{aligned}$$

где A_1 — постоянная, подлежащая определению. Если разложения (1.7) подставить в систему уравнений (1.4) и в краевые условия (1.5)–(1.6), пренебречь членами порядка y^2 и выше, а затем приравнять нулю члены при одинаковых степенях y , то получим системы обыкновенных дифференциальных уравнений и краевые условия для автомодельной и линеаризованной задач.

В работе [8] был проведен учет членов порядка y^2 . По этому поводу можно заметить следующее. Область сходимости представлений (1.7), рассматриваемых как ряды по y , еще не выяснена. Во всяком случае, можно определенно сказать, что решение в виде такого ряда будет расходиться при $y \geq (\gamma - 1)/2$. Последнее следует из того, что разложение для функции $g(y, 1)$ сходится лишь при $y < (\gamma - 1)/2$. Таким образом, при $\gamma < 2$ такие представления для функций можно использовать только при малых значениях y . Но при малых значениях y учет членов порядка y^2 вряд ли позволит существенно улучшить линеаризованное решение.

Система дифференциальных уравнений для автомодельных функций имеет следующий вид:

$$\begin{aligned} \Omega f'_0 + \frac{1}{\gamma g} h'_0 - \frac{\nu}{2} f_0 = 0, \quad f'_0 + \frac{\Omega}{g_0} g'_0 + \frac{\nu - 1}{x} f_0 = 0 \\ \gamma f'_0 + \frac{\Omega}{h_0} h'_0 + \frac{(\nu - 1)\gamma}{x} f_0 - \nu = 0 \quad (\Omega = f_0 - x) \end{aligned} \quad (1.8)$$

Здесь, как и всюду в дальнейшем, штрихом обозначены производные по x . Систему (1.8) можно получить также из системы (1.4) предельным переходом при $y \rightarrow 0$. Краевые условия для системы (1.8) будут

$$f_0(1) = \frac{2}{\gamma + 1}, \quad g_0(1) = \frac{\gamma + 1}{\gamma - 1}, \quad h_0(1) = \frac{2\gamma}{\gamma + 1}, \quad f_0(0) = 0$$

Введем вместо x новую независимую переменную μ , такую, что

$$x = \mu^{-\delta} u_1^{\beta_1} u_2^{\beta_2} \quad \left(\mu = \mu_0 = \frac{\gamma + 1}{2\gamma} \text{ при } x = 0, \quad \mu = 1 \text{ при } x = 1 \right) \quad (1.9)$$

Как известно [1–3], для $\gamma \neq 2$ решение системы (1.8), т. е. решение автомодельной задачи для сильного взрыва, можно с помощью параметрической переменной μ записать в форме

$$f_0 = \frac{2}{\gamma + 1} \mu x, \quad g_0 = \frac{\gamma + 1}{\gamma - 1} u_1^{\beta_1} u_2^{\beta_2} u_3^{\beta_3}, \quad h_0 = \frac{2\gamma}{\gamma + 1} \mu^{\delta} u_2^{\beta_4 - 2\beta_1} u_3^{1 - \beta_5} \quad (1.10)$$

Случай $\gamma = 2$ является специальным, и здесь для g_0 и h_0 имеем

$$g_0 = 3\kappa u_1^{\delta\nu/2} u_3^{\delta(\nu-2)/2}, \quad h_0 = \frac{4}{3} \kappa \mu^{\delta\nu} u_3^{\delta(\nu-2)} \quad (1.11)$$

В формулах (1.9) — (1.11) приняты следующие обозначения:

$$\begin{aligned} u_1 &= \frac{2\gamma}{\gamma - 1} \left(\mu - \frac{\gamma + 1}{2\gamma} \right), \quad u_2 = \frac{\nu\gamma - \nu + 2}{3\nu - 2 - \gamma(\nu - 2)} \left[\frac{(\gamma + 1)(\nu + 2)}{\nu\gamma - \nu + 2} - 2\mu \right] \\ u_3 &= \frac{2}{\gamma - 1} \left(\frac{\gamma + 1}{2} - \mu \right), \quad \kappa = \exp \left(6\delta \frac{\mu - 1}{3 - 2\mu} \right), \quad \delta = \frac{2}{\nu + 2} \\ \beta_1 &= \beta_2 + \frac{\gamma + 1}{\nu\gamma - \nu + 2} - \delta, \quad \beta_2 = \frac{\gamma - 1}{2\gamma - 2 + \nu}, \quad \beta_3 = 1 - 2\beta_2 \\ \beta_4 &= \frac{\nu + 2}{2 - \gamma} \beta_1, \quad \beta_5 = \frac{2}{2 - \gamma} \end{aligned}$$

Величины же $R_2(y)$ и $\tau(y)$ в автомодельной задаче находятся по выражениям

$$R_{20}^y = \frac{\delta^2}{\gamma\alpha} y, \quad \tau_0 = \left(\frac{y}{\gamma}\right)^{1/2} R_{20}\delta$$

где постоянная α определяется по формуле

$$\alpha = \frac{8[2\pi(v-1) + (v-2)(v-3)]}{(v+2)^2(\gamma-1)} \int_0^1 \frac{h_0 u x^{v-1} dx}{u_3}$$

Эта формула следует из интегрального закона сохранения энергии в автомодельном случае.

Система линейных дифференциальных уравнений для определения функций $f_1(x)$, $g_1(x)$, $h_1(x)$ и постоянной A_1 в линеаризованной задаче имеет следующий вид:

$$\begin{aligned} g_0 \Omega f_1' + \frac{h_1'}{\gamma} + \left(\frac{v}{2} + f_0'\right) g_0 f_1 - \left[\frac{v f_0}{2} - \Omega f_0'\right] g_1 + \frac{v}{2} g_0 f_0 A_1 &= 0 \\ g_0 f_1' + \Omega g_1' + \left(g_0' + \frac{v-1}{x} g_0\right) f_1 + \left(f_0' + \frac{v-1}{x} f_0 + v\right) g_1 &= 0 \quad (1.12) \\ \gamma h_0 f_1' + \Omega h_1' + \left(h_0' + \frac{v-1}{x} \gamma h_0\right) f_1 - \left(f_0' + \frac{v-1}{x} f_0\right) \gamma h_1 + v h_0 A_1 &= 0 \end{aligned}$$

Краевые условия для этой системы будут (1.13)

$$f_1(1) = -\frac{2}{\gamma+1}, \quad h_1(1) = -\frac{\gamma-1}{\gamma+1}, \quad g_1(1) = -\frac{2(\gamma+1)}{(\gamma-1)^2}, \quad f_1(0) = 0$$

Последнее из этих условий служит для нахождения постоянной A_1 . Для функций $R_2(y)$ и $\tau(y)$ в линеаризованной задаче получим

$$R_2^y = R_{20}^y \exp(A_1 y), \quad \tau = \tau_0 \left[1 + \frac{v\delta+2}{2v\delta(v\delta+1)} A_1 y \right] \quad (1.14)$$

Эти соотношения дают в параметрической форме закон движения ударной волны, т. е. функцию $R_2(t)$. Пользуясь уравнениями (1.14) и соотношениями на ударной волне (1.3), можно определить зависимость всех характеристик на фронте ударной волны от радиуса или времени. Например, для отношения давлений p_2/p_1 в функции от R_2 имеем

$$\frac{p_2}{p_1} = \frac{\gamma-1}{\gamma+1} + \frac{2\gamma}{\gamma+1} \left(A_1 + \frac{\delta^2}{\gamma\alpha} R_2^{-y} \right)$$

2. Решение линеаризированной задачи. Решение сводится к численному интегрированию системы (1.12) при условиях (1.13). Рассмотрим лишь случаи, когда γ находится в пределах $1 < \gamma < 7$. Заметим, что при $\gamma = 7$ задача имеет точное аналитическое решение [3].

Чтобы придать системе (1.12) вид, удобный для численных расчетов, введем новые искомые функции $F(x)$, $G(x)$ и $H(x)$, связанные с функциями $f_1(x)$, $g_1(x)$ и $h_1(x)$ соотношениями

$$f_1 = \Omega F, \quad g_1 = g_0 G, \quad h_1 = h_0 H$$

После преобразований система (1.12) примет вид

$$\begin{aligned} \Omega F' - \frac{h_0}{\gamma g_0 \Omega} H' + \left(2f_0' + \frac{v-2}{2}\right) F - \left(f_0' - \frac{v}{2} \frac{f_0}{\Omega}\right) (G-H) - \frac{v}{2} \frac{f_0}{\Omega} A_1 &= 0 \\ \Omega (F' - G') - v (F + G) &= 0 \quad (2.1) \end{aligned}$$

$$\Omega (\gamma F' - H') - v [(\gamma-1) F + H + A_1] = 0$$

Условия же (1.13) запишутся так: (2.2)

$$F(1) = -\frac{2}{\gamma-1}, \quad G(1) = -\frac{2}{\gamma-1}, \quad H(1) = -\frac{\gamma-1}{2\gamma}, \quad F(0) = F_0$$

где постоянная F_0 зависит только от γ и v (см. ниже формулы (2.5)).

Как известно (см., например, [3]), система (2.1) имеет интеграл, который с учетом условий (2.2) можно представить в форме

$$F + (2\gamma - 1)G - 2H - 2A_1 = -\left(2A_1 + \frac{3\gamma-1}{\gamma}\frac{\gamma+1}{\gamma-1}\right)J(\mu) \quad (2.3)$$

где

$$J(\mu) = \frac{2\gamma}{(\gamma+1)h_0} \left(\frac{\gamma-1}{\gamma+1}g_0\right)^{\gamma}$$

Перейдем теперь в системе (2.1) к независимой переменной μ , определенной равенством (1.9). Полученная в результате система уравнений может быть приведена к следующему виду:

$$\begin{aligned} \frac{dF}{d\mu} &= \left[(\gamma-1)F + H - \frac{\gamma\lambda\omega}{v}\Phi_1 + \left(1 + \frac{\gamma}{\gamma+1}\lambda\mu\right)A_1 \right] \frac{v\Phi_2}{\gamma\omega(\lambda\omega-1)} \\ \frac{dG}{d\mu} &= \frac{dF}{d\mu} + \frac{v\Phi_2}{\omega}(F+G) \\ \frac{dH}{d\mu} &= \gamma \frac{dF}{d\mu} + \frac{v\Phi_2}{\omega}[(\gamma-1)F + H + A_1] \end{aligned} \quad (2.4)$$

Здесь

$$\begin{aligned} \lambda &= \frac{\gamma+1}{\gamma-1} \left(\mu - \frac{\gamma+1}{2\gamma}\right) \frac{1}{\mu^2}, \quad \omega = 1 - \frac{2\mu}{\gamma+1} \\ \Phi_1 &= -\left[\frac{4}{\gamma+1}\left(\mu + \frac{1}{\Phi_2}\right) + \frac{v-2}{2}\right]F + \left[\frac{2}{\gamma+1}\left(\mu + \frac{1}{\Phi_2}\right) + \frac{v}{\gamma+1}\frac{\mu}{\omega}\right](G-H) \\ \Phi_2 &= \frac{\gamma+1}{\gamma-1}\frac{\beta_2}{\lambda\mu^2} - \frac{\delta\beta_1}{\delta(\mu-1)-\beta_1+\beta_2} - \frac{\delta}{\mu} \end{aligned}$$

В окрестности центра взрыва для искомого решения системы (2.4) могут быть указаны [3, 5] следующие асимптотические формулы:

$$\begin{aligned} F &= F_1 + B(a_{01} + a_{11}x^k) + O(x^{2k}) \\ G &= G_1 + \frac{B[2-a_{01}+(2b_{11}-a_{11})x^k]}{2\gamma-1} - \left(\frac{2A_1}{2\gamma-1} + \frac{\gamma+1}{\gamma-1}\right)J(\mu_0) + O(x^{2k}) \\ H &= H_1 + B(1+b_{11}x^k) + O(x^{2k}) \end{aligned} \quad (2.5)$$

где F_1, G_1, H_1 не зависят от x и представляют собой частное решение системы (2.4), B — произвольная постоянная, $k = 1/\beta_2$. При $1 < \gamma < 7$ (исключая случай $\gamma = 2$) постоянные, входящие в (2.5), имеют вид

$$\begin{aligned} a_{01} &= -\frac{1}{\gamma-1}, \quad a_{11} = \frac{(\gamma-1-n)b_{11}}{(\gamma-1)(\gamma+n)}, \quad b_{11} = [m(\gamma-1) + l]\frac{D_0}{\gamma h(\mu_0)} \\ n &= v\gamma\beta_2, \quad m = \beta_2 \frac{3-2\gamma}{2\gamma-1} \left(1 + \frac{v}{2}\frac{\gamma}{\gamma-1}\right) \\ l &= \beta_2 \left[2 + \frac{v-2}{2}\gamma + \frac{1}{2\gamma-1} \left(1 + \frac{v}{2}\frac{\gamma}{\gamma-1}\right)\right] \\ D_0 &= \frac{\gamma+1}{\gamma-1} [u_2(\mu_0)]^a [u_3(\mu_0)]^{-\beta_2} \mu_0^b \quad \left(a = \frac{\beta_1}{\beta_2(2-\gamma)}, b = \frac{\delta\beta_2}{\beta_2}\right) \\ F_1 &= -G_1 = \left[2 + \frac{v-2}{2}\gamma - (\gamma-2) \left(1 + \frac{v}{2}\frac{\gamma}{\gamma-1}\right)\right]^{-1} A_1 \\ H_1 &= -A_1 - (\gamma-1)F_1 \end{aligned}$$

При $\gamma = 2$ изменится лишь формула для D_0

$$D_0 = 3\kappa(\mu_0) [u_2(\mu_0)]^{a'} [u_3(\mu_0)]^{c'} \mu_0^{b'} \\ (a' = \frac{\nu}{\nu+2} \frac{\beta_1}{\beta_2}, c' = \frac{\nu-2}{\nu+2}, b' = \frac{\delta\nu}{\beta_2(\nu+2)})$$

Для численного интегрирования системы дифференциальных уравнений (2.4) применялся следующий метод. Задавалось некоторое начальное значение постоянной A_1 (практически это значение принималось близким к 2). Далее дифференциальные уравнения (2.4) интегрировались численно методом Рунге — Кутта с переменным шагом от $\mu = 1$ до некоторого $\mu = \mu_1 (\mu_0 < \mu_1 < 1)$. Это значение μ_1 выбиралось как граница применимости асимптотических формул (2.5). Условием для выбора величины μ_1 служило постоянство (с нужной точностью) констант, входящих в асимптотические формулы (2.5), при уменьшении μ_1 . При значении $\mu = \mu_1$, которому соответствует $x = x_1$, вычислялась постоянная B из асимптотической формулы для F . Если эту величину обозначить через B_1 , то тогда из (2.5) имеем

$$B_1 = \frac{F - F_1}{a_{01} + a_{11}x_1^k}$$

Одновременно при $\mu = \mu_1$ вычислялась постоянная B по асимптотической формуле для H

$$B_2 = \frac{H - H_1}{1 + b_{11}x_1^k}$$

Затем определялась разность величин $B_2 - B_1$ и проводилось исправление принятого начального значения A_1 таким образом, чтобы удовлетворялось условие

$$\left| \frac{B_2 - B_1}{B_1} \right| < \Delta$$

где Δ — заданное малое число. Процесс подбора величины A_1 легко автоматизируется при машинных расчетах и происходит очень быстро. В расчете с окончательно подобранным значением A_1 определялись наряду с функциями F, G, H также функции f_1, g_1, h_1 и все другие характеристики течения. Кроме того, во всех расчетах проводился контроль точности вычислений по выполнению интеграла (2.3).

Описанный численный метод решения линеаризированной задачи о взрыве с противодавлением отличается от методов, применявшихся в работах [2, 5, 6], и удобен при машинных расчетах.

3. О результатах расчетов. По изложенному выше методу была составлена программа для электронной вычислительной машины БЭСМ-2, позволяющая рассчитывать решение линеаризированной задачи о взрыве с противодавлением, в газах при различных значениях показателя адиабаты γ ($1 < \gamma < 7$) в плоском, цилиндрическом и сферическом случаях.

По этой программе была проведена большая серия расчетов для $\nu = 1, 2, 3$ и значений $\gamma = 1.1; 1.2; 1.3; 1.4; 5/3; 2; 3$. В этих расчетах помимо функций f_1, g_1, h_1 и постоянных A_1 определялись еще автомодельные функции f_0, g_0, h_0 , а также функции:

$$e_0 = \frac{\gamma}{2} f_0^2 g_0 + \frac{h_0}{\gamma-1}, \quad e_1 = \gamma f_0 g_0 f_1 + \frac{\gamma}{2} f_0^2 g_1 + \frac{h_1}{\gamma-1} \\ \theta_0 = \frac{h_0}{g_0}, \quad \theta_1 = \frac{h_1 - \theta_0 g_1}{g_0}, \quad \sigma_0 = \frac{h_0}{g_0^\gamma}, \quad \sigma_1 = \frac{h_1 - \gamma \theta_0 g_1}{g_0^\gamma}$$

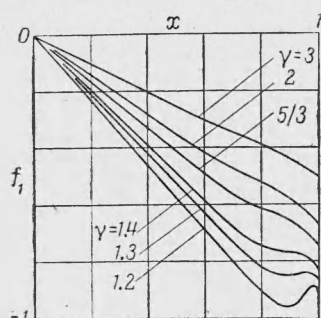
Последние функции служат для вычисления полной энергии, температуры и энтропии газа в линеаризованном приближении. Кроме того, рассчитанные данные позволяют определить импульс давления и другие интегральные характеристики, а также найти связь между эйлеровой и лагранжевой координатами (при помощи σ_0 и σ_1). Все указанные функции и константы, входящие в асимптотические формулы для определения этих функций вблизи центра взрыва (в окрестности $x = 0$), рассчитывались с точностью до пяти значащих цифр.

Таблица

ν	γ	1.1	1.2	1.3	1.4	$\frac{5}{3}$	2	3
1	α	4.5071	2.2392	1.4684	1.0775	0.60294	0.36499	0.14192
	A_1	2.3257	2.2437	2.1862	2.1433	2.0683	2.0143	1.9407
2	α	4.0007	2.0052	1.3280	0.98408	0.56429	0.35188	0.14440
	A_1	2.0866	2.0424	2.0092	1.9836	1.9374	1.9043	1.8632
3	α	3.4196	1.7198	1.1436	0.85108	0.49359	0.34200	0.13252
	A_1	2.0010	1.9666	1.9396	1.9182	1.8785	1.8496	1.8141

Ниже приводятся для иллюстрации лишь некоторые графики, содержащие отдельные результаты. На фиг. 1 дан график функции $f_1(x)$ для различных значений γ в сферическом случае, а на фиг. 2 — соответствующий график для $h_1(x)$. Изменение функций $h_1(x)$ при $\gamma = \frac{5}{3}$ в зависимости от ν представлено на фиг. 3. На фиг. 4 построены кривые относительного давления p/p_1 при $y = 0.1$ для различных γ и $\nu = 3$. В таблице приводятся значения постоянных α и A_1 , найденные с точностью до пяти значащих цифр для ряда показателей адиабаты γ и $\nu = 1, 2, 3$.

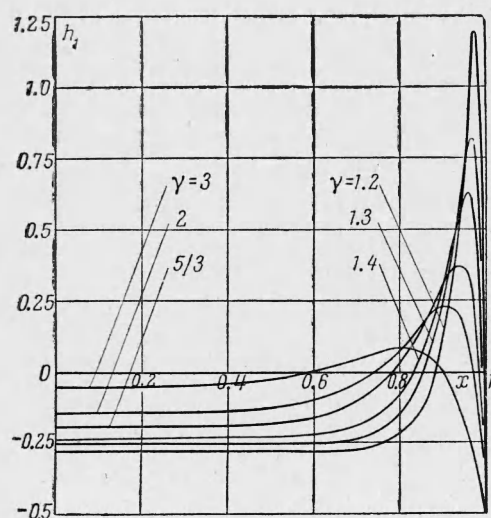
Представленные здесь результаты указывают на существенную зависимость решения от величины γ . Известно, что результаты решения задачи о плоском и цилиндрическом точечном взрыве в газе могут быть использованы для приближенного определения ряда характеристик потока при стационарном гиперзвуковом обтекании тонких затупленных тел [9-11]. Сравнение результатов теории взрыва с численными расчетами обтекания затупленных тел гиперзвуковым потоком воздуха ($\gamma = 1.4$) проводилось, например, в работе [12] для случая автомодельной и линеаризованной задачи с учетом противодавления.



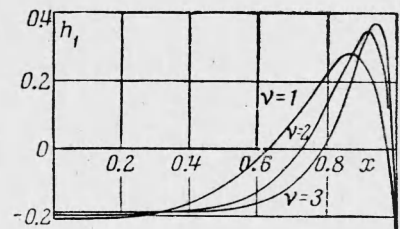
Фиг. 1

4. Приложение к расчетам обтекания тонких затупленных тел гиперзвуковым потоком газа. Рассмотрим приложение результатов полученного решения линеаризованной задачи о взрыве к расчету гиперзвукового обтекания затупленной пластины и цилиндра в случае различных газов и проведем сравнение с соответствующими данными, рассчитанными численным методом характеристик.

Пусть z — координата вдоль оси тела, измеряемая от его передней



Фиг. 2



Фиг. 3

точки; r — координата в направлении, перпендикулярном плоскости пластины или оси цилиндра; c_x — коэффициент сопротивления затупления, рассчитанный на единицу площади поперечного сечения тела и отне-

сенный к скоростному напору; d — попечный размер затупления; U_1 — скорость набегающего потока, направленная вдоль оси z .

В соответствии с работой [9] при переходе от задачи о взрыве к задаче обтекания заменим нестационарные величины на стационарные, т. е. t и E_0 на zU_1 и $\frac{1}{2}c_x\rho_1U_1^2(\pi/4)^{v-1}d^v$ соответственно. При этом безразмерные переменные $\xi = z/d$, $\xi = r/d$ и R связаны соотношениями

$$\tau = \left(\frac{4}{\pi}\right)^{\frac{v-1}{v}} \left(\frac{2}{\gamma^{1/8}c_x}\right)^{\frac{1}{v}} M_1^{-\frac{2}{v\delta}} \xi, \quad R = \left(\frac{4}{\pi}\right)^{\frac{v-1}{v}} \left(\frac{2}{\gamma c_x}\right)^{\frac{1}{v}} M_1^{-\frac{2}{v}} \xi \quad (4.1)$$

Здесь $M_1 = U_1/a_1$ — число Маха набегающего потока.

Используя результаты § 2 и 3, можно вывести формулы для распределения давления p_0 на поверхности тела и для формы ударной волны, которая описывается зависимостью $\xi = \xi_2(\xi)$. При выводе этих формул, учитывая инвариантность решения для взрыва относительно преобразования сдвига по времени, будем предполагать, что взрыв произошел не в момент $\tau = 0$, а в момент $\tau = -\tau_*$. Величина τ_* соответствует ξ_* — расстоянию отхода ударной волны от передней точки затупления и вычисляется по формуле (4.1), где берется $\xi = \xi_*$.

Тогда в случае гиперзвукового обтекания затупленной пластины ($v = 1$) и затупленного цилиндра ($v = 2$) из выражений (1.7), (1.14) и (4.1) получим формулы, записанные через параметр y

$$\begin{aligned} \xi &= \left(\frac{\pi}{4}\right)^{\frac{v-1}{v}} \left(\frac{c_x}{2}\right)^{\frac{1}{v}} \left(\frac{\delta^2 M_1^2}{\alpha^8} y\right)^{\frac{1}{v\delta}} \left[1 + \frac{v\delta + 2}{2v\delta(v\delta + 1)} A_1 y\right] - \xi_* \\ \frac{p_0}{p_1} &= \frac{|h_{00}|}{y} + h_{10}, \quad \xi_2^v = \left(\frac{\pi}{4}\right)^{\frac{v-1}{v}} \frac{c_x}{2} \frac{\delta^2 M_1^2}{\alpha} y \exp(A_1 y) \end{aligned} \quad (4.2)$$

Здесь p_0 — давление на теле, p_1 — давление в набегающем потоке, ξ_2 — ордината ударной волны, $|h_{00}|$ и h_{10} — значения функций h_0 и h_1 в центре взрыва.

Для случая затупленного цилиндра формулы (4.2) при малых y можно записать в явном виде

$$\begin{aligned} \frac{p_0}{p_1} &= k_1 \frac{c_x^{1/2} M_1^2}{\xi + \xi_*} \left(1 + k_2 \frac{\xi + \xi_*}{c_x^{1/2} M_1^2}\right) \\ \xi_2 &= k_3 c_x^{1/4} (\xi + \xi_*)^{1/2} \left(1 + k_4 \frac{\xi + \xi_*}{c_x^{1/2} M_1^2}\right) \end{aligned} \quad (4.3)$$

где

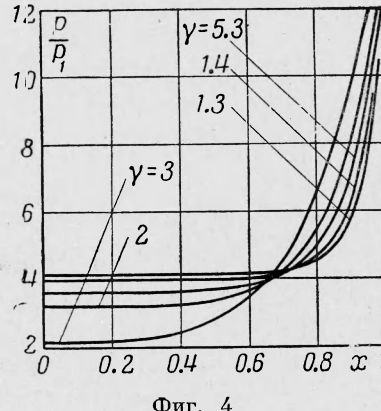
$$\begin{aligned} k_1 &= \frac{|h_{00}|}{4} \left(\frac{\pi}{8\alpha}\right)^{1/2}, \quad k_2 = \frac{1}{k_1} \left(\frac{3}{4}\right) A_1 h_{00} + h_{10} \\ k_3 &= \left(\frac{\pi}{8\alpha}\right)^{1/4}, \quad k_4 = A_1 \left(\frac{2\alpha}{\pi}\right)^{1/2} \end{aligned}$$

В соответствии с рассчитанным линеаризованным решением задачи о взрыве коэффициенты k_i имеют следующие значения: для воздуха ($\gamma = 1.4$)

$$k_1 = 0.06871, \quad k_2 = 5.7871, \quad k_3 = 0.7948, \quad k_4 = 1.5700$$

для одноатомного газа ($\gamma = 5/3$)

$$k_1 = 0.08382, \quad k_2 = 4.6305, \quad k_3 = 0.9134, \quad k_4 = 1.1612$$

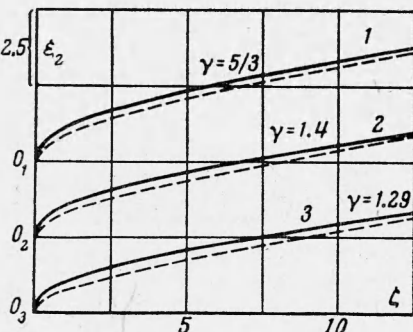


Фиг. 4

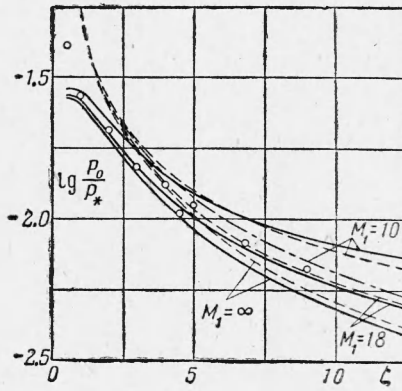
Чтобы установить границу применимости формул (4.2)–(4.3), надо сравнить полученные по ним результаты с данными точных численных расчетов задач обтекания. С этой целью были проведены расчеты течения около пластины и цилиндра, имевших затупление с круговым контуром, при различных значениях M_1 и γ . Смешанное течение перед носовой частью тела рассчитывалось по первому приближению метода интегральных соотношений [13], а сверхзвуковая часть области течения определялась численным методом характеристик [14].

Результаты сравнения представлены в виде графиков на фиг. 5–9, где пунктиром линией изображено линеаризованное решение теории взрыва (при этом значения c_x и ζ_* были взяты из численных расчетов), сплошной линией — численные расчеты обтекания тел, а точками — экспериментальные данные. На фиг. 5 и 6 соответственно показано распределение давления p_0/p_1 (в логарифмическом масштабе) и ударные волны для цилиндра с полусферической носовой частью при $M_1 = 10$ и различных значениях γ . Поскольку в этом случае кривые при различных γ оказались очень близки друг к другу, они построены со сдвигом начала координат. Аналогичные зависимости (но давление на этот раз отнесено к давлению торможения в передней точке тела p_*) для того же цилиндра при фиксированном значении $\gamma = 5/3$ и значениях $M_1 = 10, 18$ и ∞ приводятся на фиг. 7 и 8. На этих же графиках нанесены экспериментальные данные [15] для $M_1 = 18.1$ (распределение давления) и $M_1 = 21$ (ударная волна). Наконец, на фиг. 9 построено по переменной подобия $\chi = \zeta/c_x M_1^3$ распределение давления на затупленной плоской пластине в случае обтекания гелием ($\gamma = 5/3$). Сравнение теории проводится здесь с экспериментальными данными [16].

На фиг. 5–8 линеаризованное решение теории взрыва (пунктирные кривые) в цилиндрическом случае рассчитывалось по формулам (4.3). Интересно отметить, что этими формулами можно пользоваться для расчетов обтекания не только при малых y , где, строго говоря, лишь и справедливо линеаризованное решение, но также при больших y . Формулы (4.2) и (4.3) для ударных волн дают при этом близкие результаты. Полученное же по формуле (4.2) распределение давления для умеренных значений M_1



Фиг. 5

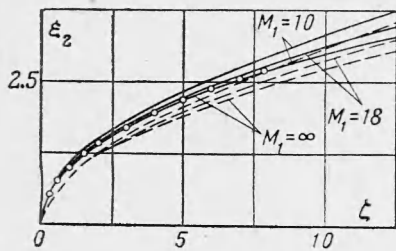


Фиг. 7

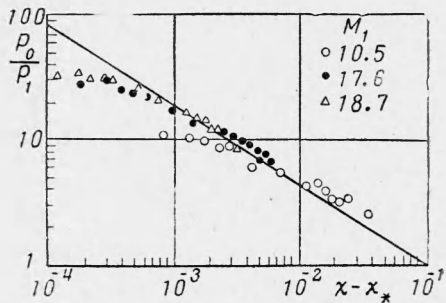
(см. на фиг. 7 штрих-пунктирную кривую для $M_1 = 10$) при больших y существенно отличается от результатов, которые дает соответствующая формула (4.3), и численных расчетов обтекания. Однако с ростом M_1 это различие уменьшается, а при $M_1 = \infty$ обе формулы совпадают. Можно расширить область применимости формул (4.3), беря в них эмпирические значения коэффициентов k_i , близкие к теоретическим.

Анализ приведенных графиков показывает, что для больших чисел Маха M_1 линеаризованное решение теории взрыва дает приемлемые результаты при расчете-

обтекания затупленных тел в определенном диапазоне длин. С увеличением значений M_1 точность и диапазон применимости такого решения возрастают, поскольку нестационарная аналогия при этом выполняется лучше. Надо иметь в виду также, что расхождения между результатами точных численных расчетов обтекания тел и



Фиг. 8



Фиг. 9

теоретическими зависимостями для взрыва обусловлены еще и тем, что в области, близкой к затуплению, нарушается нестационарная аналогия, а в слое, примыкающем к поверхности тела, поведение энтропии в стационарной и нестационарной задачах различно.

Проведенное сравнение указывает на возможность применения результатов теории взрыва к расчету гиперзвукового обтекания тонких затупленных тел. С другой стороны, результаты решений задач об обтекании затупленных тел могут быть использованы в задачах теории взрыва.

Авторы приносят глубокую благодарность К. В. Шароватовой и Р. Т. Джаембаеву за проведение расчетов.

Поступила 25 IV 1963

ЛИТЕРАТУРА

- Седов Л. И. Движение воздуха при сильном взрыве. Докл. АН СССР, 1946, т. 52, № 1.
- Седов Л. И. Методы подобия и размерности в механике. Изд. 4. Гостехиздат, 1957.
- Коробейников В. П., Мельникова Н. С., Рязанов Е. В. Теория точечного взрыва. Физматгиз, 1961.
- Охопимский Д. Е., Кондрашева И. Л., Власова З. П., Казакова Р. К. Расчет точечного взрыва с учетом противодавления. Тр. Матем. ин-та, АН СССР, 1957, т. 50.
- Sakurai A. On the propagation and structure of the blast wave. J. Phys. Soc. Japan, 1953, vol. 8, No. 5; 1954, vol. 9, No. 2.
- Брушлинский Д. Н., Соломахова Т. С. Исследование задачи о сильном взрыве с учетом противодавления. Сб. статей № 19, Теоретическая гидромеханика. Оборонгиз, 1956, вып. 7.
- Коробейников В. П., Рязанов Е. В. К теории линеаризированных задач о взрыве с учетом противодавления. ПММ, 1959, т. 23, вып. 2.
- Swigart R. J. Third-order blast wave theory and its application to hypersonic flow past blunt-nosed cylinders. J. Fluid Mech., 1960, vol. 9, No. 4.
- Черный Г. Г. Течение газа при больших сверхзвуковых скоростях. Физматгиз, 1959.
- Cheng H. K., Pallone A. J. Inviscid leading-edge effect in hypersonic flow. J. Aeronaut. Sci., 1956, vol. 23, No. 7.
- Lees L., Kubota T. Inviscid hypersonic flow over blunt-nosed slender bodies. J. Aeronaut. Sci., 1957, vol. 24, No. 3. (Русск. пер.: Сб. «Механика», 1957, № 6 (46)).
- Чушкин П. И. Исследование обтекания затупленных тел вращения при гиперзвуковой скорости. Ж. вычисл. матем. и матем. физ., 1962, т. 2, № 2.
- Белодерковский О. М. О расчете обтекания осесимметричных тел с отошедшей ударной волной на электронной счетной машине. ПММ, 1960, т. 24, вып. 3.
- Чушкин П. И. Затупленные тела простой формы в сверхзвуковом потоке газа. ПММ, 1960, т. 24, вып. 5.
- Van Hise V. Analytic study of induced pressure on long bodies of revolution with varying nose bluntness at hypersonic speeds. NASA Tech. Rep., 1961, No. R-78.
- Bertram M. H., Henderson A. Recent hypersonic studies of wings and bodies. ARS Journal, vol. 31, No. 8.